

# 共沉淀 ZnO/ $\gamma$ -Al<sub>2</sub>O<sub>3</sub> 体系 EXAFS 研究\*

杨鹏程<sup>1</sup> 蔡小海<sup>1,1)</sup> 郝俊昌<sup>1</sup> 訾凤兰<sup>2</sup>

谢有畅<sup>1</sup> 胡天斗<sup>3</sup> 谢亚宁<sup>3</sup> 张静<sup>3</sup>

1 (北京大学物理化学研究所 北京 100871)

2 (北京化工大学理学院 北京 100087)

3 (中国科学院高能物理研究所 北京 100039)

**摘要** 用 XRD 和 EXAFS 研究了 200℃, 300℃, 450℃, 800℃ 焙烧的共沉淀 ZnO/ $\gamma$ -Al<sub>2</sub>O<sub>3</sub> 体系. 通过 EXAFS 分析得到了 Zn 原子的径向分布函数, 并针对第一配位层做了定量的拟合, 结果是体系中第一层锌氧 Zn-O 保持 ZnO 中的四配位结构. 文中还对第二层配位峰的变化趋势做了分析.

**关键词** EXAFS ZnO/ $\gamma$ -Al<sub>2</sub>O<sub>3</sub> XRD 共沉淀

## 1 引言

ZnO/ $\gamma$ -Al<sub>2</sub>O<sub>3</sub> 体系常在水-烃反应、烯烃加氢、异构化等反应中作为催化剂重要组分<sup>[1]</sup>. 有关 ZnO/ $\gamma$ -Al<sub>2</sub>O<sub>3</sub> 体系的结构表征已有一些文献<sup>[1-4]</sup>报道. 本文在任志国部分工作基础上系统地用 EXAFS 分析了 ZnO/ $\gamma$ -Al<sub>2</sub>O<sub>3</sub> 体系结构配位特点.

## 2 样品制备

样品制备方法: 按计量的硝酸锌晶体和硝酸铝晶体混合配成溶液. 在不断搅拌下加入过量碳酸钠溶液至 pH9—10 沉淀完全. 沉淀在 80℃ 陈化 4h 后抽滤. 将沉淀打浆洗涤多次到洗涤液为中性, 然后在 110℃ 烘箱中烘干. 最后在马弗炉中焙烧 5h, 在升至指定温度前先在 200℃ 脱水. 各个样品载量用 ZnO/ $\gamma$ -Al<sub>2</sub>O<sub>3</sub> 质量比表示, 分别为 0.1, 0.2, 0.4, 0.5, 0.6, 0.7, 0.8, 0.9, 1.0. 焙烧温度分别为 200℃, 300℃, 450℃, 800℃.

\* 国家自然科学基金(29733080, 29773002), 国家重点发展规划项目(G2000077503)资助

1) 通信联系人

### 3 XRD 结果

XRD 在 BD86 衍射分析系统上进行. 选取  $m_{\text{ZnO}}/m_{\gamma\text{-Al}_2\text{O}_3}=0.2, 0.5, 0.8, 1.0$  等载量在不同温度下焙烧样品, 测 XRD 结果如图 1.

图 1 表明  $200^\circ\text{C}$ — $800^\circ\text{C}$  温度下焙烧的衍射峰和尖晶石  $\text{ZnAl}_2\text{O}_4$  峰位有一一对应关系, 并且随着  $\text{ZnO}$  载量增加, 衍射峰略向低角度方向移动. 这是因为样品中  $\text{ZnO}$  和  $\gamma\text{-Al}_2\text{O}_3$  形成尖晶石型固溶体,  $\text{Zn}$  取代了  $\gamma\text{-Al}_2\text{O}_3$  中部分  $\text{Al}$  原子, 因为  $\text{Zn}$  原子半径大于  $\text{Al}$ , 导致晶面间距扩大, 衍射峰向低角度方向移动.  $200^\circ\text{C}$ ,  $300^\circ\text{C}$ ,  $450^\circ\text{C}$  低温焙烧样品  $\text{ZnO}$  和  $\gamma\text{-Al}_2\text{O}_3$  溶解度很大, 在  $\text{ZnO}$  载量为 1.0 时也不析出  $\text{ZnO}$  晶体, 而在  $800^\circ\text{C}$  载量大于 0.8 ( $\text{ZnAl}_2\text{O}_4$  配比) 时出现  $\text{ZnO}$  衍射峰, 说明该温度焙烧下尖晶石配比时  $\text{Zn}$  已经饱和,  $\text{ZnO}$  含量高于尖晶石配比析出  $\text{ZnO}$  晶体.  $200$ — $450^\circ\text{C}$  低温样品晶形较差, 与  $800^\circ\text{C}$  相比衍射峰形明显宽化.

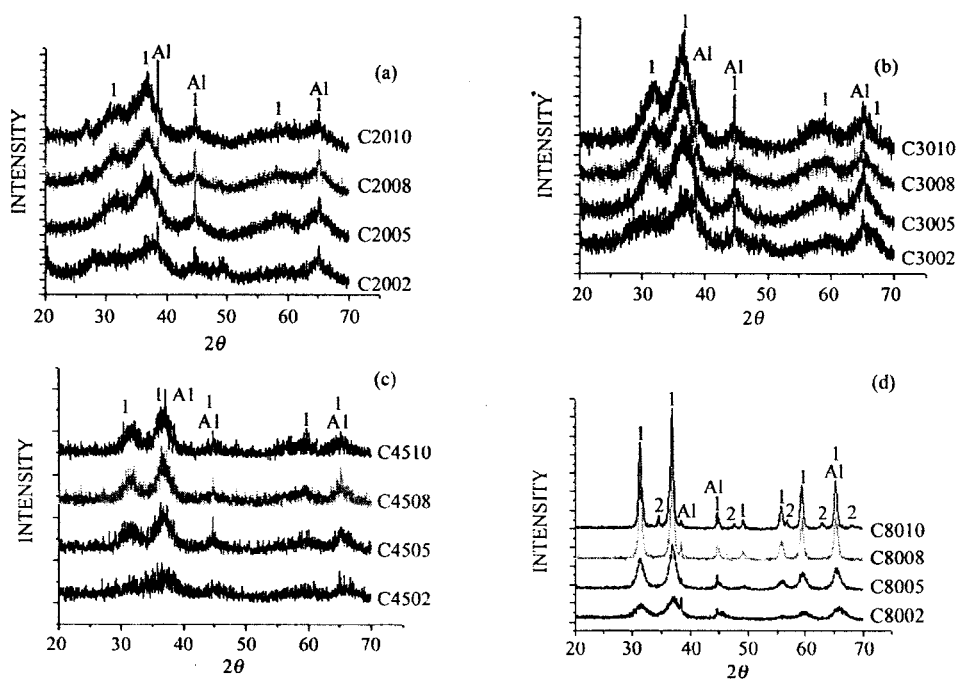


图 1  $m_{\text{ZnO}}/m_{\gamma\text{-Al}_2\text{O}_3}=0.2, 0.5, 0.8, 1.0$  载量样品 XRD 图

C2002 表示  $200^\circ\text{C}$  焙烧, 载量  $m_{\text{ZnO}}/m_{\gamma\text{-Al}_2\text{O}_3}=0.2$  的样品, C2010 表示  $200^\circ\text{C}$  焙烧,

载量  $m_{\text{ZnO}}/m_{\gamma\text{-Al}_2\text{O}_3}=1.0$  的样品, 依此类推.

(a)  $200^\circ\text{C}$ ; (b)  $300^\circ\text{C}$ ; (c)  $450^\circ\text{C}$ ; (d)  $800^\circ\text{C}$ . 1: 尖晶石峰, 2:  $\text{ZnO}$  峰.

### 4 EXAFS 实验结果和分析

$\text{Zn}$  的  $\text{K}$  吸收谱在北京正负电子对撞机 (BEPC) 同步辐射 (BSRF) 实验室 4W1B 光束线上的 EXAFS 站测量, 储存环电子能量为  $2.2\text{GeV}$ , 单色器为双平晶  $\text{Si}(111)$ , 在室温下用

透射模式. EXAFS 数据分析采用 FEFF8 程序进行.

各系列的 EXAFS 吸收信号用 3 次样条进行归一化, 在  $K$  空间内经傅立叶变换处理 (变换范围  $k=3.0-12.0\text{\AA}^{-1}$ ) 后得到径向分布函数(RDF)如图 2.

由图可以看出, 随着 ZnO 载量增加, Zn 的第一配位壳层 Zn-O 层峰高和位置基本保持不变. 以 FEFF8 计算得到的 ZnO 第一配位壳层 Zn-O 的振幅和相移对各组样品的第一配位层 Zn-O 进行拟合, 表明共沉淀体系各载量样品中 Zn 的第一配位壳层 Zn-O 配位环境基本保持不变. 配位距离  $R_1$  在  $1.95-1.97\text{\AA}$  之间, 配位数  $N_1$  均为 4.0 左右. 拟合时, 各组数据的  $r$  因子均小于 0.05, Debye-Waller 因子  $\sigma^2=0.004-0.006$  之间. 这说明 ZnO 与  $\gamma$ -Al<sub>2</sub>O<sub>3</sub> 固溶体中 Zn 只取代  $\gamma$ -Al<sub>2</sub>O<sub>3</sub> 中四面体配位的 Al 原子位置, 保持纯 ZnO 的最紧邻壳层配位结构.

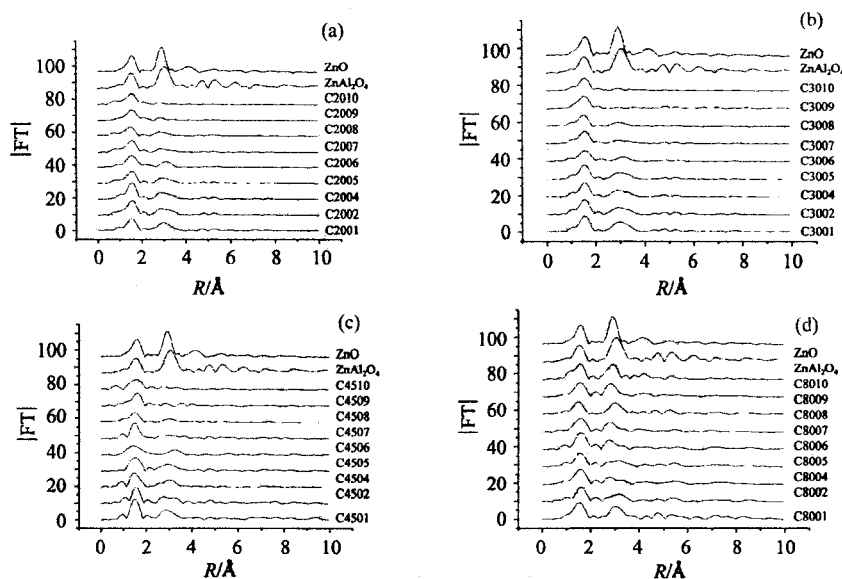


图 2 样品 Zn-K 边 EXAFS 径向分布函数

(a) 200°C; (b) 300°C; (c) 450°C; (d) 800°C.

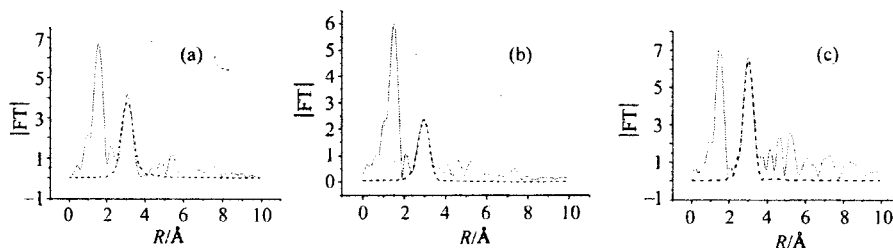


图 3 样品第二壳层拟合效果

Zn-K 边, (a) C3002; (b) C3008; (c) C8008. ---拟合结果, —实验 RDF.

RDF 的  $R=2.5-4.0$  之间的径向分布函数峰 (第二配位峰) 可能含有 Zn-Zn, Zn-O, Zn-Al 等配位壳层的贡献, 经验表明 Zn-Zn 配位层占了绝大部分. 从第二峰峰位上看, 各组样品峰的位置均略低于标准尖晶石 ZnAl<sub>2</sub>O<sub>4</sub> 峰位, 接近 ZnO 的 Zn-Zn 峰位置. 这说

明了在 ZnO 和  $\gamma$ -Al<sub>2</sub>O<sub>3</sub> 形成尖晶石型固溶体中, ZnO 一定程度上保持了原有 ZnO 晶体中的近邻配位结构. 从第二峰峰高上看, 各个温度下样品峰高均低于标准尖晶石 ZnAl<sub>2</sub>O<sub>4</sub> 峰高, 而且 200°C, 300°C, 450°C 低温处理时, 在实验载量范围内, 第二配位峰随 ZnO 载量的升高反而降低. 其原因可能是: 在实验载量范围内 ZnO 和  $\gamma$ -Al<sub>2</sub>O<sub>3</sub> 互相形成固溶体, 当 Zn 原子数比较多时, 尤其是超过尖晶石 Zn, Al 原子比时, 第二层 Zn, Al 原子就呈无序分布, 近程有序结构遭到破坏, 所以径向分布函数峰值反而下降. 在拟合时反映在  $\sigma^2$  增大. 按照 FEFF8.0 理论计算 Zn-Zn 层散射振幅和相移拟合时, 300°C ZnO 载量 0.1 样品 C3002 拟合结果  $\sigma^2 = 0.012$ , 载量为 0.8 样品 C3008  $\sigma^2 = 0.020$ , 这两种样品拟合配位数均在 4 左右. 而载量为 0.9 时样品 C3009 配位峰已接近消失,  $\sigma^2$  相当大, 表明 Zn-Zn 壳层的结构已经高度无序. 在 800°C 时, FEFF8.0 对载量 0.8 样品 C3008 拟合得到 Zn-Zn 壳层  $\sigma^2 = 0.010$ , 小于 300°C 时对应载量的 0.020, 表明结构接近近程有序, 拟合效果列于图 3.

### 参考文献(References)

- 1 Park Sang-Woo, Joo Oh-Shim, Jung Kwang-Deog et al. Appl.Catal., 2001, A211:81—90
- 2 ZOU Hu, SHEN Jian-Yi. Thermochemica Acta, 2000, 351:165—170.
- 3 ZHAO Bi-Ying, WU Nian-Zu, GUI Lin-Lin et al. Wulihua Xue Xuebao, 1986, 2:166—172 (in Chinese)  
(赵璧英, 吴念祖, 桂琳琳等. 物理化学学报, 1986, 2:166—172)
- 4 ZHAO Bi-Ying, YAO Xiao-Qiang, TANG You-Qi. Wulihua Xue Xuebao, 1986, 2:569—572 (in Chinese)  
(赵璧英, 姚小强, 唐有祺. 物理化学学报, 1986, 2:569—572)

## EXAFS Study of ZnO/ $\gamma$ -Al<sub>2</sub>O<sub>3</sub> Prepared by Co-Precipitation Method\*

YANG Peng-Cheng<sup>1</sup> CAI Xiao-Hai<sup>1,1)</sup> HAO Jun-Chang<sup>1</sup> ZI Feng-Lan<sup>1</sup>

XIE You-Chang<sup>1</sup> HU Tian-Dou<sup>3</sup> XIE Ya-Ning<sup>3</sup> ZHANG Jing<sup>3</sup>

1 ( Institute of Physical Chemistry, Peking University, Beijing 100871, China)

2 ( Beijing University of Chemistry and Polytechnic, Bei jing 100087, China)

3 ( Institute of High Energy Physics, CSA, Beijing 100039, China)

**Abstract** The co-precipitated ZnO/ $\gamma$ -Al<sub>2</sub>O<sub>3</sub> system calcined under 200°C, 300°C, 450°C and 800°C was studied here using XRD and EXAFS and the Zn-centered Radial Distribution Functions were obtained. The nearest Zn-O shell was fitted and a conclusion was drawn that the Zn is coordinated by 4 oxygen atoms, just like within the original ZnO crystal. The changing tendency of RDF peaks of the second Zn-centered shell with the ZnO loading was also discussed.

**Key words** EXAFS, ZnO/ $\gamma$ -Al<sub>2</sub>O<sub>3</sub>, XRD, co-precipitation

\* Supported by NSFC(29733080, 29773002) and Major State Basic Research Development Program(G2000077503)

1) Corresponding author